

---

---

## **Наш семинар: математические сюжеты**

---

---

Многочлен Татта и модель случайных кластеров

Ю.М. Бурман

### 1. ВВЕДЕНИЕ: РАЗНЫЕ ПРИМЕРЫ

#### 1.1. ХРОМАТИЧЕСКИЙ МНОГОЧЛЕН

Пусть  $G$  — конечный граф, вершины которого перенумерованы числами от 1 до  $n$ . Мы будем раскрашивать вершины графа в  $k$  различных цветов; раскраску назовем правильной, если две вершины, соединенные ребром, раскрашены по-разному. Количество правильных раскрасок графа  $G$  в  $k$  цветов обозначим  $C_G(k)$ .

В этом разделе, как и в дальнейшем, мы разрешаем графу иметь кратные ребра (т. е. одну и ту же пару вершин может соединять несколько ребер), а также петли — ребра, начинающиеся и кончивающиеся в одной и той же вершине. Нетрудно, однако, заметить, что если заменить какое-нибудь кратное ребро графа на одиночное, величина  $C_G(k)$  не изменится, а если в графе имеется петля, то правильных раскрасок не существует, и  $C_G(k) = 0$  для любого  $k$ . Заметим также, что если граф  $G$  состоит из двух кусков —  $G_1$  и  $G_2$ , между которыми ребер нет (мы записываем это как  $G = G_1 \sqcup G_2$ ), то  $C_G(k) = C_{G_1}(k)C_{G_2}(k)$ .

**ПРИМЕР 1.** Пусть граф  $G$  — дерево из  $n$  вершин (и  $(n - 1)$  ребер). Тогда его вершины можно красить последовательно: начать с произвольной вершины — ее можно окрасить в любой из  $k$  цветов. Затем выбрать цвета вершин, соединенных с начальной — для каждой из них запрещен в точности 1 цвет — цвет начальной вершины — так что имеется  $(k - 1)$  возможностей. Затем перейти к вершинам, соединенным с теми, что были окрашены на втором шаге, и т. д. Поскольку граф — дерево, на каждом

этапе, кроме начального, окрашиваемая вершина будет соседствовать в точности с одной вершиной, окрашенной ранее. Следовательно, общее количество правильных раскрасок не зависит от структуры дерева, а только от количества его вершин, и равно  $G_G(k) = k(k - 1)^{n-1}$ .

**ПРИМЕР 2.** Для полного графа  $K_n$  из  $n$  вершин, попарно соединенных ребрами имеем, очевидно,  $C_G(k) = k(k - 1) \cdots (k - n + 1)$ ; в частности,  $C_G(k) = 0$  при  $k < n$ .

Выделим теперь в графе  $G$  некоторое ребро  $e$ , соединяющие вершины  $i$  и  $j$ , и обозначим  $G \setminus e$  граф, полученный разрывом ребра  $e$ : вершины те же, что и у графа  $G$ , ребро  $e$  отсутствует, а остальные ребра — как в  $G$ . Правильные раскраски графа  $G \setminus e$  в  $k$  цветов делятся на два класса: раскраски, в которых цвета вершин  $i$  и  $j$  совпадают, и раскраски, в которых эти цвета различны. Во втором случае мы можем восстановить ребро  $e$ , получив правильную раскраску исходного графа  $G$  — следовательно, число правильных раскрасок второго класса равно  $C_G(k)$ . Что касается раскрасок первого класса, то оно равно  $C_{G/e}(k)$ , где  $G/e$  — граф, полученный из  $G$  «стягиванием» ребра  $e$ : вершины  $G/e$  — это все вершины  $G$ , кроме  $j$ ; ребро  $e$  отсутствует; ребра, соединяющие  $j$  с другими вершинами, теперь идут в  $i$ , а остальные ребра не меняются. Заметим, что даже если в графе  $G$  отсутствовали петли или кратные ребра, они могут появиться в  $G/e$ .

Поскольку каждая раскраска вершин графа  $G \setminus e$  принадлежит либо к первому, либо ко второму классу, имеет место равенство

$$C_{G \setminus e}(k) = C_G(k) + C_{G/e}(k). \quad (1)$$

Следствием его является такое утверждение:

**УТВЕРЖДЕНИЕ 1.** *Величина  $C_G(k)$  для любого графа  $G$  является многочленом от  $k$ . Степень многочлена равна числу вершин графа, а старший коэффициент равен 1.*

**ДОКАЗАТЕЛЬСТВО.** Пусть  $n$  — число вершин графа  $G$ . Если график не имеет ребер, то, очевидно,  $C_G(k) = k^n$ , и утверждение доказано. Дальнейшее доказательство проводится совместной индукцией по числу вершин и ребер. Граф  $G \setminus e$  имеет  $n$  вершин и меньше ребер, чем  $G$  — следовательно, по предположению индукции,  $C_{G \setminus e}(k)$  — это многочлен степени  $n$  со старшим коэффициентом 1. Граф  $G/e$  имеет  $(n - 1)$  вершин, так что по предположению индукции  $C_{G/e}(k)$  — многочлен степени  $(n - 1)$ . Следовательно,  $C_G(k) = C_{G \setminus e}(k) - C_{G/e}(k)$  является многочленом степени  $n$  со старшим коэффициентом 1.

Многочлен  $C_G(k)$  называется *хроматическим многочленом графа*.

ПРИМЕР 3. Пусть  $G = Z_n$  — цикл из  $n$  вершин. Тогда  $G \setminus e$  — цепочка  $L_n$  из  $n$  вершин, а  $G/e = Z_{n-1}$ . Согласно формуле (1),  $C_{Z_n} = C_{L_n} - C_{Z_{n-1}}$ . Цепочка является деревом, откуда  $C_{L_n}(k) = k(k-1)^{n-1}$  (в силу примера 1). Следовательно,

$$C_{Z_n} + C_{Z_{n-1}} = k(k-1)^{n-1}. \quad (2)$$

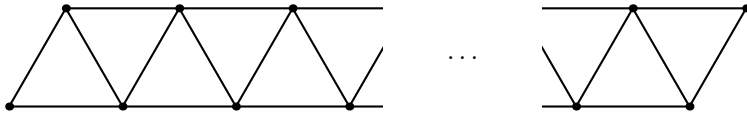
Граф  $Z_2$  является полным графом из 2 вершин (ребро — кратное, но это не влияет на хроматический многочлен), так что

$$C_{Z_2}(k) = k(k-1). \quad (3)$$

Знакопеременная сумма равенств (2) при всех  $n$  и равенства (3) дает

$$\begin{aligned} C_{Z_n} &= k(k-1)((k-1)^{n-2} - (k-1)^{n-3} + \cdots + (-1)^{n-2}) = \\ &= k(k-1) \frac{(k-1)^{n-1} + (-1)^{n-2}}{(k-1) + 1} = (k-1)((k-1)^{n-1} + (-1)^n). \end{aligned}$$

ЗАДАЧА 1. Найдите  $C_G(k)$ , если график  $G$  — это а) прямоугольная решетка  $2 \times n$ , б\*) прямоугольная решетка  $m \times n$ , в) треугольная решетка  $2 \times n$ , изображенная на рисунке, г\*) аналогичная треугольная решетка  $m \times n$ .



## 1.2. РАЗРЫВ СЛУЧАЙНЫХ РЕБЕР

Рассмотрим еще раз график  $G$  (который может иметь петли и кратные ребра); на этот раз предположим его связным. Граф подвергается следующему случайному преобразованию: каждое из ребер, независимо от других, с некоторой вероятностью  $p$  остается неизменным, а с вероятностью  $1-p$  разрывается (удаляется из графа). Обозначим  $R_G(p)$  вероятность того, что получившийся после преобразования график останется связным.

ПРИМЕР 4. Пусть  $G$  — дерево с  $n$  вершинами. Тогда оно останется связным только в случае, когда ни одно ребро не будет разорвано. Поскольку число ребер равно  $n-1$ , а разрываются они независимо друг от друга, вероятность такого события равна  $R_G(p) = p^{n-1}$ .

ПРИМЕР 5. Для задачи о разрыве случайных ребер, в отличие от задачи пункта 1.1, кратности ребер существенны. Так, если  $G$  — две вершины, соединенные  $a$  ребрами, то график станет несвязным только если все ребра будут разорваны. Отсюда  $R_G(p) = 1 - (1-p)^a$ .

Отметим в графе  $G$  ребро  $e$ . Вероятность того, что после разрыва случайных ребер граф останется связным, при условии что ребро  $e$  будет разорвано, равна  $R_{G \setminus e}(p)$  — вероятности распадения на части графа, в котором ребро  $e$  стерто заранее. Вероятность того, что граф  $G$  останется связным, при условии что ребро  $e$  сохранится, равна, очевидно,  $R_{G/e}(p)$ . Вероятность разрыва ребра  $e$  равна  $(1 - p)$ , сохранения —  $p$ , поэтому по формуле полной вероятности получаем, что

$$R_G(p) = (1 - p)R_{G \setminus e}(p) + pR_{G/e}(p). \quad (4)$$

**УТВЕРЖДЕНИЕ 2.** Величина  $R_G(p)$  является многочленом от  $p$ , степень которого не превосходит числа ребер в графе  $G$ , считая с кратностями и не считая петли.

**ДОКАЗАТЕЛЬСТВО.** Очевидно, разрыв петли не влияет на связность графа, поэтому можно с самого начала считать, что петель в графе нет. Если в графе 1 вершина (и ребер нет), то  $R_G(p) = 1$ . Дальнейшее доказательство — индукция по числу ребер (граф  $G \setminus e$  имеет на 1 ребро меньше, чем  $G$ ; граф  $G/e$  — по крайней мере на 1 ребро меньше).

**ЗАДАЧА 2.** Найдите многочлен  $R_G(p)$ , где  $G$  — графы, упомянутые в задаче 1.

### 1.3. АЦИКЛИЧЕСКИЕ ОРИЕНТАЦИИ

Пусть  $G$  — граф. Мы будем давать ребрам графа различные ориентации (= ставить на ребрах стрелки); ориентация называется ациклической, если в полученном ориентированном графе отсутствуют ориентированные циклы, т. е. нельзя пройти по стрелкам и вернуться в исходную вершину. Обозначим  $A_G$  количество ациклических ориентаций  $G$ ; так,  $A_G = 0$ , если в графе имеются петли.

**ПРИМЕР 6.** Если  $G$  — дерево с  $n$  вершинами (и  $(n - 1)$  ребрами), то любая его ориентация является ациклической. Поэтому  $A_G = 2^{n-1}$ .

Выделим в графе  $G$  ребро  $e$ . По аналогии с пунктами 1.1 и 1.2 попробуем установить связь между величинами  $A_G$ ,  $A_{G \setminus e}$  и  $A_{G/e}$ . В данном случае связь зависит от свойств ребра  $e$ :

1. Если ребро  $e$  — петля, то  $A_G = 0$ .
2. Пусть ребро  $e$  — перешеек. Это означает, что при удалении этого ребра граф распадается: количество компонент связности у графа  $G \setminus e$  больше, чем у графа  $G$ . Или, что то же самое, через ребро  $e$  не проходит ни один цикл в графе  $G$  (неориентированный). В этом случае если на всех ребрах графа  $G$ , кроме  $e$ , уже расставлены стрелки, и ориентированного цикла нет, то на ребре  $e$  стрелку можно поставить произвольным

образом — ориентированный цикл не возникнет. Тем самым, когда  $e$  — перешеек,

$$A_G = 2A_{G \setminus e}. \quad (5)$$

3. Пусть теперь  $e$  — не петля и не перешеек; это означает, что в графе  $G$  существует путь, соединяющий концы  $i$  и  $j$  ребра  $e$  и не проходящий через  $e$ . В этом случае ациклические ориентации графа  $G \setminus e$  делятся на два класса. Для ориентаций первого класса все ребра на всех путях, соединяющих  $i$  и  $j$ , ориентированы в одну и ту же сторону. В этом случае из двух возможных ориентаций ребра  $e$  одна приводит к появлению в графе  $G$  ориентированного цикла, а другая не приводит. Для ориентаций  $G \setminus e$  второго класса на каждом пути, соединяющем  $i$  и  $j$ , имеются как ребра, ориентированные от  $i$  к  $j$ , так и ребра с обратной ориентацией. В этом случае обе ориентации ребра  $e$  допустимы (не приводят к появлению ориентированного цикла в  $G$ ).

Очевидно, если в  $G \setminus e$  задана ациклическая ориентация второго класса, то можно склеить вершины  $i$  и  $j$  — получится ациклическая ориентация графа  $G/e$ ; обратно, из каждой ациклической ориентации  $G/e$  можно получить ациклическую ориентацию  $G \setminus e$  второго класса. Следовательно, количество ациклических ориентаций  $G \setminus e$  второго класса равно  $A_{G/e}$ , первого класса —  $A_{G \setminus e} - A_{G/e}$ , откуда вытекает равенство (для ребра  $e$  — не петли и не перешейка)

$$A_G = A_{G \setminus e} - A_{G/e} + 2A_{G/e} = A_{G \setminus e} + A_{G/e} \quad (6)$$

Равенства (5) и (6) позволяет вычислить  $A_G$  любого графа.

**ПРИМЕР 7.** Пусть  $G = Z_n$  — цикл из  $n$  вершин и  $n$  ребер,  $n \geq 2$ . Ребра цикла не являются петлями и перешейками; граф  $Z_n \setminus e$  является деревом, а  $Z_n/e = Z_{n-1}$ . Отсюда получаем (при  $n \geq 2$ ) равенство  $A_{Z_n} = 2^{n-1} + A_{Z_{n-1}}$ . Граф  $Z_1$  содержит петлю, поэтому  $A_{Z_1} = 0$ , откуда по индукции  $A_{Z_n} = 2^n - 2$ .

## 2. МНОГОЧЛЕН ТАТТА

### 2.1. ОПРЕДЕЛЕНИЕ И ПРИМЕРЫ

**ОПРЕДЕЛЕНИЕ [1].** *Многочленом Татта* называется функция  $G \mapsto T_G(x, y)$  из множества неориентированных графов (возможно, с петлями и кратными ребрами) в множество многочленов от двух переменных, обладающая следующими свойствами:

1. Если граф  $G$  не имеет ребер, то  $T_G(x, y) = 1$ .
2. Если ребро  $e$  — не петля и не перешеек, то  $T_G(x, y) = T_{G \setminus e}(x, y) + T_{G/e}(x, y)$ .

3. Если ребро  $e$  — перешеек, то  $T_G(x, y) = xT_{G/e}(x, y)$ .
4. Если ребро  $e$  — петля, то  $T_G(x, y) = yT_{G \setminus e}(x, y)$ .

Разумеется, существование и единственность многочлена Татта еще нужно доказать. Мы сделаем это позднее (раздел 2.2), а пока выясним, как многочлен Татта связан с теми задачами, которые мы рассматривали до сих пор.

**ПРИМЕР 8.** Многочлен Татта произвольного дерева с  $n$  вершинами (и  $(n - 1)$  ребрами) равен  $x^{n-1}$ . Это доказывается индукцией по  $n$ : в дереве произвольное ребро является перешейком, после стягивания которого получается опять дерево — с  $(n - 1)$  вершинами.

**ПРИМЕР 9.** Пусть  $G = Z_n$  — цикл из  $n$  вершин. Тогда для произвольного ребра  $e$  графа  $G \setminus e$  — цепочка  $L_n$  из  $n$  вершин, а  $G/e = Z_{n-1}$ . Согласно свойству 2,  $T_{Z_n}(x, y) = T_{L_n}(x, y) + T_{Z_{n-1}}(x, y) = x^{n-1} + T_{Z_{n-1}}(x, y)$  по формуле примера 8; это равенство верно при всяком  $n > 1$ . Граф  $Z_1$  — петля, так что  $T_{Z_1} = yT_{\text{точка}} = y$  по свойствам 4 и 1. Следовательно,  $T_{Z_{n-1}} = y + x + \dots + x^{n-1}$ .

Оказывается, что все комбинаторные характеристики графов, о которых шла речь в разделе 1, выражаются через многочлен Татта.

**УТВЕРЖДЕНИЕ 3.** Пусть  $G$  — граф с  $n$  вершинами и  $k$  компонентами связности. Тогда его хроматический многочлен выражается формулой  $C_G(s) = (-1)^{n+k}s^kT_G(1-s, 0)$ .

**ДОКАЗАТЕЛЬСТВО.** Доказательство проведем индукцией по *числу ребер* графа  $G$ . Если ребер нет вовсе, то  $k = n$ ,  $T_G(x, y) \equiv 1$ , а  $C_G(s) = s^n$  — равенство верно. Пусть теперь в графе имеется ребро  $e$ . Для графов  $G \setminus e$  и  $G/e$  утверждение верно по предположению индукции. Пусть вначале  $e$  — не петля и не перешеек. Тогда графы  $G \setminus e$  и  $G/e$  оба содержат по  $k$  компонент связности; количество вершин в  $G \setminus e$  равно  $n$ , а в  $G/e$  —  $(n - 1)$ . Тогда

$$\begin{aligned} C_G(s) &= C_{G \setminus e}(s) - C_{G/e}(s) = \quad (\text{по формуле (1)}) \\ &= (-1)^{n+k}s^kT_{G \setminus e}(1-s, 0) - (-1)^{n-1+k}s^kT_{G/e}(1-s, 0) = \\ &= (-1)^{n+k}s^k(T_{G \setminus e}(1-s, 0) + T_{G/e}(1-s, 0)) = \\ &= (-1)^{n+k}s^kT_G(1-s, 0), \end{aligned}$$

что и требовалось.

Пусть теперь  $e$  — перешеек, соединяющий вершины  $i$  и  $j$ . Тогда граф  $G \setminus e$  имеет  $(k + 1)$  компонент связности и  $n$  вершин. Из всех  $C_{G \setminus e}(s)$  его

раскрасок в  $s$  цветов ровно для  $1/s$ -ой части цвета вершин  $i$  и  $j$  совпадают. Следовательно,

$$\begin{aligned} C_G(s) &= (1 - 1/s)C_{G \setminus e}(s) = (1 - 1/s)(-1)^{n+k+1}s^{k+1}T_{G \setminus e}(1-s, 0) = \\ &\quad (\text{по предположению индукции}) \\ &= (1 - 1/s)(-1)^{n+k+1}s^{k+1}(1-s)T_G(1-s, 0) = \quad (\text{по свойству 3}) \\ &= (-1)^{n+k}s^kT_G(1-s, 0). \end{aligned}$$

Если  $e$  — петля, то  $C_G(s) = 0$ . С другой стороны,  $T_G(1-s, 0) = 0 \cdot T_{G/e}(1-s, 0) = 0$ .

Утверждение доказано.

**УТВЕРЖДЕНИЕ 4.** Пусть  $G$  — связный граф. Многочлен  $R_G(p)$ , определенный в разделе 1.2, задается формулой

$$R_G(p) = (1-p)^{r-n+k}p^{n-k}T_G\left(1, \frac{1}{1-p}\right),$$

где  $n$  и  $k$  — те же, что и в утверждении 3, а  $r$  — число ребер графа.

**ДОКАЗАТЕЛЬСТВО.** Опять индукция по числу  $r$  ребер графа. Для графа с 1 вершиной без ребер  $R_G(p) = 1$  и  $T_G(p) = 1$ , что соответствует формуле, поскольку в этом случае  $r = 0$  и  $n = k = 1$ .

Выделим в графе ребро  $e$ . Если оно не является ни перешейком, ни петлей, то граф  $G \setminus e$  имеет  $n$  вершин,  $(r-1)$  ребер и  $k$  компонент связности, а граф  $G/e$  — соответственно,  $(n-1)$ ,  $(r-1)$  и  $k$ . Имеем тогда

$$\begin{aligned} R_G(p) &= (1-p)R_{G \setminus e}(p) + pR_{G/e}(p) = \quad (\text{по формуле (4)}) \\ &= (1-p)^{r-n+k}p^{n-k}T_{G \setminus e}\left(1, \frac{1}{1-p}\right) + (1-p)^{r-n+k}p^{n-k}T_{G/e}\left(1, \frac{1}{1-p}\right) = \\ &\quad (\text{по предположению индукции}) \\ &= (1-p)^{r-n+k}p^{n-k}T_G\left(1, \frac{1}{1-p}\right) \quad (\text{по свойству 2 многочлена Татта}). \end{aligned}$$

Если ребро  $e$  — перешеек, то  $R_G(p) = pR_{G/e}(p)$ . По предположению индукции,

$$pR_{G/e}(p) = (1-p)^{r-n+k}p^{n-k}T_{G/e}\left(1, \frac{1}{1-p}\right) = (1-p)^{r-n+k}p^{n-k}T_G\left(1, \frac{1}{1-p}\right)$$

(по свойству 3 многочлена Татта).

Если ребро  $e$  — петля, то  $R_G(p) = R_{G \setminus e}(p)$ . По предположению индукции,

$$R_{G \setminus e}(p) = (1-p)^{r-1-n+k}p^{n-k}T_{G \setminus e}\left(1, \frac{1}{1-p}\right) = (1-p)^{r-n+k}p^{n-k}T_G\left(1, \frac{1}{1-p}\right)$$

(по свойству 4 многочлена Татта).

**УТВЕРЖДЕНИЕ 5.** *Количество ациклических ориентаций графа  $G$  равно  $A_G = T_G(2, 0)$ .*

Доказательство — стандартная индукция по числу ребер графа с использованием свойств величины  $A_G$ , доказанных в разделе 1.3.

## 2.2. СУЩЕСТВОВАНИЕ И ЕДИНСТВЕННОСТЬ

Для доказательства существования и единственности мы определим сначала для каждого графа  $G$  вспомогательный многочлен  $Z(q, v)$  от двух переменных. Он задается формулой

$$Z_G(q, v) = \sum_H q^{k(H)} v^{e(H)}, \quad (7)$$

где сумма берется по всем подграфам  $H$  графа  $G$ , множество вершин которых совпадает с множеством вершин  $G$ , а множество ребер — любое подмножество множества ребер  $G$  (так что всякий  $H$  имеет, в обозначениях предыдущего раздела, ровно  $n$  вершин и не более  $r$  ребер). В формуле (7)  $k(H)$  обозначает количество компонент связности графа  $H$ , а  $e(H)$  — число ребер.

Оказывается, многочлен  $Z_G$  хорошо ведет себя при разрывах и стягивании ребер: для произвольного ребра  $e$  графа  $G$  имеет место формула

$$Z_G(q, v) = Z_{G \setminus e}(q, v) + v Z_{G/e}(q, v). \quad (8)$$

Действительно, все подграфы  $H$  графа  $G$  можно разделить на два непересекающихся класса: содержащие ребро  $e$  и не содержащие его. Подграф второго класса — это просто подграф в  $G \setminus e$ , так что сумма  $\sum_H q^{k(H)} v^{e(H)}$ , взятая по подграфам второго класса, равна  $Z_{G \setminus e}(q, v)$ . Во всяком подграфе первого класса можно стянуть ребро  $e$ , получив подграф графа  $G/e$ . Поскольку при стягивании число ребер уменьшается на единицу, сумма  $\sum_H q^{k(H)} v^{e(H)}$ , взятая по подграфам первого класса, равна  $v Z_{G/e}(q, v)$ .

Формула (8) верна для любого ребра  $e$ . В случае, если ребро  $e$  — петля, то графы  $G \setminus e$  и  $G/e$  совпадают, что дает равенство

$$Z_G(q, v) = (1 + v) Z_{G \setminus e}(q, v). \quad (9)$$

Пусть теперь  $e$  — перешеек. Всякому подграфу  $H$  графа  $G/e$  можно сопоставить два подграфа графа  $G$ : один из них,  $H_1$  содержит все ребра  $H$  и еще ребро  $e$ , а второй,  $H_2$  — все ребра  $H$ , но ребра  $e$  не содержит. Очевидно,  $e(H_1) = e(H) + 1$ ,  $k(H_1) = k(H)$ , и  $e(H_2) = e(H)$  и  $k(H_2) = k(H) + 1$ . Отсюда следует, что  $q^{k(H_1)} v^{e(H_1)} + q^{k(H_2)} v^{e(H_2)} = (q + v) q^{k(H)} v^{e(H)}$ , то есть

$$Z_G(q, v) = (q + v) Z_{G/e}(q, v). \quad (10)$$

**ПРИМЕР 10.** Пусть график  $G$  — дерево с  $n$  вершинами (и  $(n - 1)$  ребрами). Поскольку каждое ребро дерева является перешейком, из формулы

(10) вытекает, что  $Z_G = (q + v)^{n-1} Z_{\text{точка}}$ . Очевидно,  $Z_{\text{точка}} = q$ , откуда  $Z_G = q(q + v)^{n-1}$ .

Теперь мы можем выразить многочлен Татта графа  $G$  через многочлен  $Z_G$ , доказав тем самым теорему существования и единственности:

**ТЕОРЕМА 1.** Для всякого графа  $G$  многочлен Татта  $T_G(x, y)$  существует, единствен и задается формулой

$$T_G(x, y) = \frac{1}{(x - 1)^k(y - 1)^n} Z_G((x - 1)(y - 1), y - 1), \quad (11)$$

где  $n$  — число вершин, а  $k$  — количество компонент связности графа.

**ДОКАЗАТЕЛЬСТВО.** Покажем, что величина в правой части равенства (11) обладает всеми свойствами многочлена Татта. Если  $G$  — граф с  $n$  вершинами и без ребер, то его единственный подграф — он сам, так что  $Z_G(q, v) = q^n$ . Поскольку  $k = n$ , имеем

$$\frac{1}{(x - 1)^k(y - 1)^n} Z_G((x - 1)(y - 1), y - 1) = 1,$$

как и требуется (свойство 1). Свойства 2, 3 и 4 легко выводятся из формул (8), (10) и (9) соответственно. Несложной индукцией по числу ребер отсюда выводится, что величина  $\frac{1}{(x - 1)^k(y - 1)^n} Z_G((x - 1)(y - 1), y - 1)$  — многочлен от  $x$  и  $y$ . Тем самым доказано существование многочлена Татта и формула (11).

Единственность многочлена Татта доказывается независимо от формулы (11) индукцией по числу ребер. Действительно, если ребер нет (база индукции), то  $T_G(x, y) = 1$  по свойству 1. Если же имеется ребро  $e$ , то вычисление  $T_G$  однозначно сводится с помощью свойства 2, 3 или 4 к вычислению многочлена Татта для графов  $G \setminus e$  и  $G/e$ , имеющих на одно ребро меньше.

### 2.3. ДРУГИЕ СПЕЦИАЛИЗАЦИИ МНОГОЧЛЕНА ТАТТА

Подставляя различные величины вместо  $x$  и  $y$  в многочлен Татта  $T_G(x, y)$ , можно получить описание многих комбинаторных свойств графа  $G$ . С некоторыми примерами мы уже познакомились в разделе 2.1; вот еще несколько утверждений такого же рода (заимствованных из замечательного обзора [2]):

1. Если график  $G$  связный, то  $T_G(1, 1)$  равно числу подграфов-деревьев в  $G$ .
2. Пусть  $G$  — связный график, и  $f_i(G)$  — количество его подграфов-лесов с ровно  $i$  ребрами (лес — это график без циклов, не обязательно связный). Тогда имеет место равенство  $\sum_{i=0}^{n-1} f_i(G)s^i = s^{n-1}T_G(1+1/s, 1)$ ;

здесь  $n$  — количество вершин в графе  $G$  (следовательно, подграф-лес содержит от 0 до  $(n - 1)$  ребер). Полагая  $s = 1$ , получим, что  $T_G(2, 1)$  равно общему числу подграфов-лесов в  $G$ .

3. Пусть  $G$  — связный граф, и  $c_i(G)$  — количество его связных подграфов с  $i$  ребрами. Тогда

$$\sum_{i=0}^{r-n+1} c_i(G)s^i = s^{r-n+1}T_G\left(1, 1 + \frac{1}{s}\right),$$

где  $r$  — количество ребер, а  $n$  — количество вершин графа  $G$ . Полагая  $s = 1$ , получим, что  $T_G(1, 2)$  равно числу связных подграфов в  $G$ .

4.  $T_G(0, 2)$  равно числу вполне циклических ориентаций графа  $G$ , то есть таких способов расставить стрелки на ребрах, что каждое ребро входит в ориентированный цикл.
5.  $T_G(1, 0)$  равно числу ациклических ориентаций графа  $G$  (ср. утверждение 5), имеющих ровно одну вершину-источник, то есть вершину, в которую не входит ни одна стрелка.
6.  $T_G(-1, -1) = (-1)^r 2^d$ , где  $r$  — число ребер графа, а  $d$  — размерность так называемого «велосипедного пространства» графа, см. определение в работе [3].

Доказательства всех этих свойств похожи на доказательства утверждений 3–5 и оставляются читателю в качестве упражнения.

### 3. МОДЕЛЬ СЛУЧАЙНЫХ КЛАСТЕРОВ

«Вспомогательный многочлен»  $Z_G(q, v)$ , определенный формулой (7), имеет неожиданное применение в математической физике: он описывает статистическую сумму простейшей модели кристалла-магнетика — *модели случайных кластеров*.

Кристалл в этой модели изображается графом (обычно решеткой, типа рассмотренных в задаче 1). Атомы — вершины графа, и каждая вершина соединена ребрами с некоторыми другими — «ближайшими соседями». Каждый атом может находиться в одном из  $q$  состояний (значений спина), так что состояние всего кристалла описывается парой  $(G, \sigma)$ , где  $\sigma : V(G) \rightarrow \{1, 2, \dots, q\}$  — функция на множестве вершин графа  $G$  (ср. с разделом 1.1).

Атомы кристалла взаимодействуют между собой, и этому взаимодействию отвечает некоторая потенциальная энергия. Взаимодействие зависит от состояния атомов и от их расположения. В модели случайных кластеров предполагается, что атом взаимодействует только со своими

ближайшими соседями (т. е. вершина — с вершинами, соединенными с нею ребрами), и только в том случае, когда значения их спинов совпадают. Тем самым каждому ребру  $e$  графа  $G$  с концами  $e^+, e^- \in V(G)$  отвечает потенциальная энергия, равная  $J_e \delta(\sigma(e^+), \sigma(e^-))$ . Здесь  $J_e$  — константа, характеризующая интенсивность связи вдоль данного ребра, а  $\delta(a, b) = 1$ , если  $a = b$ , и 0, если  $a \neq b$ . Потенциальная энергия всего кристалла в состоянии, характеризуемом парой  $(V, \sigma)$ , складывается из энергий попарных взаимодействий:

$$\Pi(G, \sigma) = \sum_{e \in E(G)} J_e \delta(\sigma(e^+), \sigma(e^-)). \quad (12)$$

Под влиянием теплового движения кристалл случайным образом переходит из одного состояния в другое. В классической статистической физике принят постулат Больцмана, согласно которому вероятность для системы находиться в данном состоянии  $\sigma$  равна  $P(\sigma) = \exp(-\beta \Pi(\sigma))/Z(\beta)$ , где  $\beta$  связана с (абсолютной) температурой  $T$  системы равенством  $\beta = 1/kT$  ( $k$  — физическая константа, называемая постоянной Больцмана), а  $Z(\beta)$  — нормировочный множитель, равный (чтобы сумма всех вероятностей равнялась 1)

$$Z(\beta) = \sum_{\sigma} \exp(-\beta \Pi(\sigma)),$$

где сумма берется по всем состояниям системы (в нашем случае — по всем функциям  $\sigma : V(G) \rightarrow \{1, 2, \dots, q\}$ ). Величина  $Z(\beta)$  называется *статистической суммой* системы.

Пусть  $f$  — некоторая физическая характеристика системы, т. е. функция ее состояния (для определенности, с вещественными значениями). Тогда среднее значение  $f$  по всем состояниям системы равно

$$\langle f \rangle = \sum_{\sigma} f(\sigma) P(\sigma) = \sum_{\sigma} f(\sigma) \exp(-\beta \Pi(\sigma))/Z(\beta).$$

**ПРИМЕР 11.** Среднее значение энергии произвольной системы равно  $\langle \Pi \rangle = \sum_{\sigma} \Pi(\sigma) \exp(-\beta \Pi(\sigma))/Z(\beta) = -\frac{d}{d\beta} \ln Z(\beta)$ .

Мы докажем следующую теорему, впервые полученную П. Кастелейном и С. Фортюэном в 1969 г.:

**ТЕОРЕМА 2 ([4]).** *Пусть  $J_e = J$  не зависит от ребра  $e$ . Тогда статистическая сумма модели случайных кластеров равна*

$$Z_G(q, \exp(-\beta J) - 1),$$

где многочлен  $Z$  определен формулой (7).

**ДОКАЗАТЕЛЬСТВО.** Пусть  $\sigma : V(G) \rightarrow \{1, 2, \dots, q\}$  — состояние системы. Обозначим  $v = \exp(-\beta J) - 1$ ; тогда

$$\begin{aligned} \exp(-\beta\Pi(\sigma)) &= \exp(-\beta J \sum_e \delta(\sigma(e^+), \sigma(e^-))) \\ &= \prod_e \exp(-\beta J \delta(\sigma(e^+), \sigma(e^-))) = \\ &= \prod_e (1 + v \delta(\sigma(e^+), \sigma(e^-))) = \sum_{A \subset G} \prod_{e \in A} v \delta(\sigma(e^+), \sigma(e^-)), \end{aligned}$$

иными словами,

$$\exp(-\beta\Pi(\sigma)) = \sum_{A \subset G} v^{e(A)},$$

где сумма берется по всем подграфам  $A \subset G$ , для которых значение функции  $\sigma$  одинаково на обоих концах каждого входящего в них ребра. Это означает, что функция  $\sigma$  постоянна на компонентах связности подграфа  $A$ . Тем самым статистическая сумма модели случайных кластеров равна

$$\begin{aligned} \sum_{\sigma} \exp(-\beta\Pi(\sigma)) &= \\ &= \sum_{A \subset G} v^{e(A)} \times \#\text{функций } \sigma, \text{ постоянных на компонентах связности } A = \\ &= \sum_{A \subset G} q^{k(A)} v^{e(A)} = Z_G(q, v). \end{aligned}$$

**ПРИМЕР 12.** Для одномерного кристалла («цепочки») из  $N$  атомов, согласно примеру 10, имеем (в предположении, что веса всех ребер одинаковы)  $Z(q, v) = q(q+v)^{N-1}$ . Отсюда вытекает, что статистическая сумма равна  $q(q-1+\exp(-\beta J))^{N-1}$ , а средняя энергия магнитного взаимодействия атомов системы, согласно примеру 11, равна

$$\langle \Pi \rangle = (N-1) \frac{J \exp(-\beta J)}{q-1+\exp(-\beta J)}.$$

Средняя энергия в расчете на один атом кристалла равна  $\langle E \rangle / N$  и в пределе  $N \rightarrow \infty$  стремится к  $\frac{J \exp(-\beta J)}{q-1+\exp(-\beta J)}$ .

Если температура системы велика ( $T \rightarrow +\infty$ ), то  $\beta = 1/kT \rightarrow 0$ , и средняя энергия на один атом приближается к  $J/q$ . Поведение же системы при низких температурах ( $T \rightarrow 0$ , то есть  $\beta \rightarrow +\infty$ ) зависит от знака константы взаимодействия  $J$ . Если  $J > 0$ , то  $\exp(-\beta J) \rightarrow 0$ , и средняя энергия стремится к нулю. Такие кристаллы называются антиферромагнитными: в них соседним атомам энергетически невыгодно иметь одинаковые спины, и поэтому при низкой температуре, когда тепловое

движение практически исчезает, такая ситуация практически не встречается. Если же  $J < 0$  (ферромагнитный кристалл), то  $\exp(-\beta J) \rightarrow +\infty$ , и средняя энергия на один атом стремится к  $J$ . Иными словами, в ферромагнитном кристалле при низкой температуре все атомы стараются иметь один и тот же спин.

Пусть теперь  $q = 2$ , то есть спин  $\sigma$  принимает только 2 значения. Будем считать, что эти значения равны  $1/2$  и  $-1/2$ . Тогда можно рассмотреть функцию состояния системы, равную  $f(\sigma) = \sum \sigma(v)$ , где сумма берется по всем вершинам графа.

Введем теперь в систему внешнее магнитное поле. Тогда энергия системы складывается из двух слагаемых: энергии  $\Pi(\sigma)$  попарного взаимодействия, заданной формулой (12), и энергии взаимодействия спинов с магнитным полем, равной  $hf(\sigma)$  ( $h$  — величина поля).

**ЗАДАЧА 3.** Пусть график  $G = G_N$  — цепочка, как в примере 12. а) Вычислите статистическую сумму  $Z_N(\beta, h) = \sum_{\sigma} \exp(-\beta(\Pi(\sigma) + hf(\sigma)))$ . б) Вычислите  $\langle f \rangle$  как функцию  $\beta$  и  $h$ . в) Найдите предел  $\lim_{h \rightarrow +0} \lim_{N \rightarrow \infty} \frac{1}{N} \langle f \rangle$ .

Предел в пункте 3в называется *спонтанной намагниченностью*. Он не равен нулю, в отличие от предела  $\lim_{N \rightarrow \infty} \lim_{h \rightarrow 0} \frac{1}{N} \langle f \rangle$ , который равен нулю по соображениям симметрии.

### ЗАМЕЧАНИЯ

1. Из утверждений 3 и 4 следует, что задачи 1 и 2 можно решить, если найти многочлены Татта соответствующих графов-решеток. Для решеток  $2 \times n$  (пункты 1а и 1в) это несложно, но явная формула для многочлена Татта произвольных решеток (пункты 1б и 1г, отмеченные звездочкой) в настоящее время неизвестна (так же как и формулы для многочленов  $C_G$  и  $R_G$ ). Поиски такой формулы интенсивно ведутся. Задача про треугольную решетку выглядит несколько проще: для нее известен предел многочлена Татта при  $n \rightarrow \infty$  (и фиксированном  $m$ ), а также доказан ряд других результатов, см. статью [5]. Про прямоугольные решетки литература очень велика; см. недавнюю работу [6].

2. Популярный рассказ о кристаллах-магнетиках см. в книге [7]. Особенно интересной оказывается теория, когда в качестве модели магнетика выступает не граф-цепочка, как в примере 12, а двумерная решетка, наподобие рассмотренных в задаче 1. Устремив размеры решетки к бесконечности, можно вычислить, как в задаче 3, спонтанную намагниченность. В данном случае ее зависимость от температуры оказывается негладкой: при температуре ниже некоторого критического уровня  $T_c$

спонтанная намагниченность отлична от нуля, а при  $T > T_c$  — равна нулю. Это явление называется фазовым переходом. Точная формула для  $T_c$  была найдена Янгом [8]; см. книги [9], [10] и [11]. Отметим еще книгу [12] (вышедшую в той же серии «Библиотечка „Квант“», что и [7]) — в ней разбираются задачи про большие решетки, весьма близкие по духу к упомянутым выше.

#### СПИСОК ЛИТЕРАТУРЫ

- [1] Татт У. *Теория графов*. М.: Мир, 1988.
- [2] Welsh D. J. A., Merino C. *The Potts model and the Tutte polynomial* // J. Math. Phys. Vol. 41, no 3, 2000. P. 1127–1152.
- [3] Read R. C., Rosenstiehl P. *On the principal edge tripartition of a graph* // Ann. Discrete Math. Vol. 3, 1978. P. 195–226.
- [4] Kasteleyn P. W., Fortuin C. M. *Phase transitions in lattice systems with random local properties* // J. Phys. Soc. Japan. Vol. 26 (Suppl.), 1969. P. 11–14.
- [5] Chang S.-Ch., Jacobsen J. L., Salas J., Shrock R. *Exact Potts model partition functions for strips of the triangular lattice* // J. Stat. Phys. Vol. 114, no 3/4, 2004. P. 763–823.
- [6] Calkin N. et. al., *Improved bounds for the number of forests and acyclic orientations in the square lattice* // Electronic J. Combin., Vol. 10, 2003.
- [7] Каганов М. И., Цукерник В.М. *Природа магнетизма* (серия “Библиотечка «Квант»”, выпуск 16). М.: Наука, 1982.
- [8] Yang C. N. *The simultaneous magnetization of a two-dimensional Ising model* Phys. Rev. B. Vol. 85, 1952. P. 806–816.
- [9] Бэкстер Р. *Точно решаемые модели в статистической механике*. М.: Мир, 1985.
- [10] Белавин А. А., Кулаков А. Г., Устинов Р. А. *Лекции по теоретической физике*. М.: МЦНМО, 2001.
- [11] Джимбо М., Мива Т. *Алгебраический анализ точно решаемых решеточных моделей*. Ижевск: Регулярная и хаотическая динамика / Удмуртский университет, 2000.
- [12] Эфрос А. Л. *Физика и геометрия беспорядка* (серия «Библиотечка „Квант“», выпуск 19). М.: Наука, 1982.